

円管路における bed 形態について

信州大学工学部 正員 富山五郎

1) まえがき

前報¹⁾の実験研究で、円管内に一定量の粒子が存在する場合の bed 形態は、開水路の ripple・dune に相当する wave bed、および flat bed で、 antidune に相当する形態は存在しないことを述べた。

そこで本研究は、wave の発生要因として流速分布の非対称性と粒子移動の非平衡性をとり上げ、開水路の bed 形態を論じて構・着陸の方法²⁾を円管路に適用し、その bed 形態について論ずる。

2) 基礎方程式

座標を図-1 のようにとる。ここで、管内に十分粒子があり、管底は露出しないし、また bed 面は y 軸方向に水平と仮定する。この仮定は、flat bed に近い bed 形態では十分妥当であることが実験で確認されている。構・着陸の導いた流れの基礎方程式を円管路について上げると、(1), (2), (3), (4)式となる。

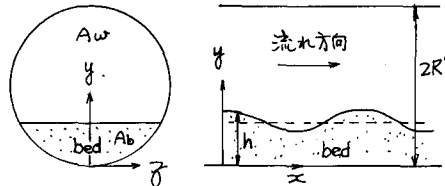


図-1

$$\frac{\partial A_w}{\partial x} + \frac{\partial}{\partial x}(A_m \cdot A_w) = 0 \quad \dots (1),$$

$$\frac{1}{g} \frac{\partial U_m}{\partial t} + \frac{U_m}{g} \frac{\partial U_m}{\partial x} + \frac{\partial}{\partial x} \left(\frac{Q}{P} + \frac{P}{Pg} \right) + \frac{T_b \cdot L_b + T_w \cdot L_w}{Pg A_w} = 0 \quad \dots (2),$$

$$\frac{\partial A_b}{\partial t} + \frac{1}{1-\lambda} \frac{\partial}{\partial x}(q_T \cdot L_b) = 0 \quad \dots (3),$$

$$\frac{\lambda_* d}{A_*} \frac{\partial \Psi}{\partial x} = P - \frac{\Psi}{A_*} (1-P) \quad \dots (4),$$

$$P = \frac{\frac{25}{A_*} \left(\frac{k_s}{d}\right)^{-0.44} \Psi^{1/3} (\Psi - \Psi_c)}{1 + \frac{25}{A_*} \left(\frac{k_s}{d}\right)^{-0.44} \Psi^{1/3} (\Psi - \Psi_c)} \quad \dots (5),$$

$$\Psi = \frac{U_*^2}{Sgd} = \frac{T_b}{Pg d} \quad \dots (6),$$

$\Psi = q_T / \sqrt{Sgd^3}$, A_w, A_b ; 流体部分、および bed の断面積, U_m ; 平均流速, L_w, L_b ; 管壁, bed 面長, T_w, T_b ; 管壁面, bed 面せん断応力, q_T ; 流砂量, S ; 沙水比重, k_s ; 摩擦速度, d ; 粒径, k_s ; 相当粗度 ($= 4d$), A_* ; 定数 ($\approx 1/10$), λ_* ; 定数 (≈ 0.00), 他の符号は慣用に従う。

ここで T_w は管壁面 T 、また T_b , q_T は bed 面で一定とした。

3) T_b の決定

$$T = (T_b \cdot L_b + T_w \cdot L_w) / L, \quad L = L_w + L_b, \quad \frac{\partial}{\partial x} \left(\frac{Q}{P} + \frac{P}{Pg} \right) = -I \text{ とする} \text{ と}, \text{ (2) 式は},$$

$$I = Pg R \left(I - \frac{1}{g} \frac{\partial U_m}{\partial t} - \frac{U_m}{g} \frac{\partial U_m}{\partial x} \right) = Pg R I' \quad \dots (7),$$

$$R = Aw/L; \text{ 径深, } I' = I - \frac{1}{g} \frac{\partial u_m}{\partial x} - \frac{U_m}{g} \frac{\partial U_m}{\partial x} \quad \text{となる。}$$

ここで非定常流においても Einstein の法則が適用出来ると仮定する。すなわち

$$U_m = \frac{1}{m} R^{\frac{2}{3}} I^{\frac{1}{2}}, \quad U_m = \frac{1}{m_w} R_w^{\frac{2}{3}} I^{\frac{1}{2}}, \quad U_m = \frac{1}{m_b} R_b^{\frac{2}{3}} I^{\frac{1}{2}} \quad \dots \quad (8),$$

$$T = P g R I', \quad T_w = P g R_w I', \quad T_b = P g R_b I' \quad \dots \quad (9),$$

m_w, m_b ; 管壁, bed 面の Manning 粗度係数, R_w, R_b ; 管壁, bed 面の径深。

管壁面を水理学的に滑らかとして, m_w を Blasius の式 $f = 0.3164 / Re^{\frac{1}{4}}$ と $m_w = (f \cdot R_w^{\frac{1}{4}} / 8)^{\frac{1}{2}}$ と求め, この値を(8)式の第 2 式に代入して R_w を求めると

$$R_w = 0.00002854^{0.8} v^{0.2} U_m^{1.4} / I^{0.8} \quad \dots \quad (10)$$

となる。また R_b は, $R_b = (Aw - R_w \cdot L_w) / L_b$ より求められ, これを用いて T_b が決定される。

つぎに, 極・音速は流速分布の非対称性を考慮して T_b を次のように表わした。

$$T_b = P U_m^2 \frac{1}{(1 + 2.5 \ln \frac{R_b}{R_s})^2} \cdot \left\{ \frac{1 - \Delta}{1 - \Delta/3} \right\}^2 \quad \dots \quad (11),$$

$$\Delta = \frac{7.5}{8.5 + 2.5 \ln \frac{R_b}{R_s}} + 6.0 \frac{\partial R_b}{\partial x}.$$

ここで, 流れは 3 次元的であるが簡単のため水深 R_b である 2 次元流れとした。 (9), (10) 式より

$$\cdot g R_b' I' = U_m^2 \frac{1}{(1 + 2.5 \ln \frac{R_b}{R_s})^2} \cdot \left\{ \frac{1 - \Delta}{1 - \Delta/3} \right\}^2 \quad \dots \quad (12)$$

が得られる。これは, (2) 式に代入基礎方程式の 1 つになる。

4) bed の基礎方程式

上に示した諸量を平均値と, 其の偏差にわけて

$$h = h_0 (1 + \eta), \quad Aw = A_{w0} (1 + \alpha_w), \quad Ab = A_{b0} (1 + \alpha_b), \quad Lw = L_{w0} (1 + \lambda_w), \quad Lb = L_{b0} (1 + \lambda_b),$$

$$R_w = R_{w0} (1 + \gamma_w), \quad R_b = R_{b0} (1 + \gamma_b), \quad I' = I_{0'} (1 + i_f'), \quad \Psi = \Psi_0 (1 + \psi), \quad \Psi = \Psi_0 (1 + \phi).$$

$$U_m = U_{m0} (1 + u), \quad P = P_0 (1 + p')$$

とおき, η , α_w などは, 1 にくらべ小さいとして, 其の 2 乗以上の項を無視する。また $\chi = z/R_{b0}$ とする。 Aw, Ab, Lw, Lb を h で表わす。それとの偏差は, $R' \geq h$ と仮定し

$$\alpha_w = - \frac{L_{b0} \cdot h_0}{A_{w0}} \eta, \quad \alpha_b = \frac{L_{b0} \cdot h_0}{A_{b0}} \eta, \quad \lambda_w = - \frac{4(R' - h_0)}{L_{w0} \cdot L_{b0}} \eta, \quad \lambda_b = \frac{4(R' - h_0)}{L_{b0}^2} \eta \quad \dots \quad (13)$$

R' ; 管半径

となる。また γ_w, γ_b は(10)式, および $R_b = (Aw - R_w \cdot L_w) / L_b$ を用い次のようになる。

$$\gamma_w = 1.4 u - 0.8 i_f', \quad \gamma_b = \frac{1}{L_{b0} \cdot R_{b0}} \left\{ A_{w0} (Aw - Lw) - R_{w0} \cdot L_{w0} (R' - h_0) \right\} \quad \dots \quad (14)$$

つぎに, (1), (3), (4), (12) の基本式について考える。まず (1), (3) 式は

$$-\frac{h_0 \chi}{R_{b0}} \frac{\partial \eta}{\partial \chi} + \frac{A_{w0}}{R_{b0} \cdot L_{b0}} \frac{\partial u}{\partial \chi} - \frac{h_0}{R_{b0}} \frac{\partial \eta}{\partial \chi} = 0 \quad \dots \quad (15),$$

$$\frac{h_0}{R_{b0}} \frac{\partial \eta}{\partial \chi} + \frac{\partial \phi}{\partial \chi} - \frac{4(R' - h_0)}{L_{b0}^2} \frac{\partial \eta}{\partial \chi} = 0 \quad \dots \quad (16),$$

$$T' = t \sqrt{58d^3} R_{bo} / (1-\lambda) R_{bo}^2, X = q_{ro} / (1-\lambda) U_{mo} R_{bo}.$$

(5)式、おもむく(6)、(11)式より P' , ψ は次のようである。

$$P' = \frac{2.3 \Psi_0 - 1.3 \Psi_c}{\left\{ 1 + \frac{25}{A_*} \left(\frac{R_{bo}}{R_s} \right)^{-0.44} \Psi_0^{1.3} (\Psi_0 - \Psi_c) \right\} (\Psi_0 - \Psi_c)} \psi = B' \psi \quad \dots (17),$$

$$\Psi = 2U - \frac{5.0}{6.0 + 2.5 \ln \frac{R_{bo}}{R_s}} - \frac{8.0 (8.5 + 2.5 \ln \frac{R_{bo}}{R_s})}{(1.0 + 2.5 \ln \frac{R_{bo}}{R_s}) (6.0 + 2.5 \ln \frac{R_{bo}}{R_s})} \cdot \frac{\partial V_b}{\partial \bar{z}} = 2U - PV_b - 9 \frac{\partial V_b}{\partial \bar{z}}. \quad (18)$$

(8), (9)式を用ひると、(4)式は次のようになる。

$$E \frac{\partial \phi}{\partial \bar{z}} + \phi = B (2U - PV_b - 9 \frac{\partial V_b}{\partial \bar{z}}) \quad \dots (19);$$

$$E = \frac{\lambda_1 d}{R_{bo}} \left(1 + \frac{\Psi_0}{A_*} \right), \quad B = B' \left(1 + \frac{\Psi_0}{A_*} \right) \quad \dots (20).$$

つぎに、(12)式は $V_b + \lambda f' = 2U - PV_b - 9 \frac{\partial V_b}{\partial \bar{z}}$ となる。この式の $\lambda f'$ は、(14)の2式を用い

$$\lambda f' = 1.75 U + 1.25 \frac{R_{bo} \cdot L_{bo}}{R_{wo} \cdot L_{wo}} V_b - 1.25 \frac{A_{wo}}{R_{wo} \cdot L_{wo}} (A_{wo} - L_{bo}) + 1.25 (L_{wo} - L_{bo})$$

とすれり、これを上の式に代入し、(13)式を用ひると次の式が得られる。

$$P V_b + V_b + 1.25 \frac{R_{bo} \cdot L_{bo}}{R_{wo} \cdot L_{wo}} V_b + 9 \frac{\partial V_b}{\partial \bar{z}} = 0.25 U - A' \eta \quad \dots (21);$$

$$A' = \frac{1.25 h_0}{R_{wo} \cdot L_{wo} \cdot L_{bo}} \left\{ 4(R' - h_0) R_{bo} - 4 R' R_{wo} + L_{bo}^2 \right\}.$$

bcd の安定性を調べるために

$$\eta = \eta_* e^{\delta T' + i \beta \bar{z}}, \quad V_b = V_{b*} e^{\delta T' + i \beta \bar{z}}, \quad U = U_* e^{\delta T' + i \beta \bar{z}}, \quad \phi = \phi_* e^{\delta T' + i \beta \bar{z}} \quad \dots (22)$$

とおくと、(15), (16), (19), (21)の基礎式は次のようになる。

$$\frac{h_0 X}{R_{bo}} \delta \eta_* + \frac{A_{wo}}{R_{bo} \cdot L_{bo}} i \beta U_* - \frac{h_0}{R_{bo}} i \beta V_{b*} = 0 \quad \dots (23),$$

$$\frac{h_0}{R_{bo}} \delta V_{b*} - i \beta \phi_* + \frac{4(R' - h_0) h_0}{L_{bo}^2} i \beta \eta_* = 0 \quad \dots (24),$$

$$(E \cdot i \beta + 1) \phi_* = B (U_* - PV_{b*} - 9 i \beta V_{b*}) \quad \dots (25),$$

$$(P + 1 + 1.25 \frac{R_{bo} \cdot L_{bo}}{R_{wo} \cdot L_{wo}} + i \beta q) V_{b*} = 0.25 U_* - A' \eta_* \quad \dots (26).$$

上の4つの式で、 X の項は小さないとして無視し、 η_* , V_{b*} , U_* , V_{b*} を消去し、 η_* について2等式。
いま $\delta = \delta_1 + i \delta_2$ と置くと、 δ_1 , δ_2 はつぎのようである。

$$\delta_1 = \frac{B' B R_{bo}}{h_0 (1 + E' \beta)} \cdot \left[\frac{(1 + 1.25 \frac{R_{bo} \cdot L_{bo}}{R_{wo} \cdot L_{wo}}) (9/E - P) - P^2 \beta^2 q^2}{(P + 1 + 1.25 \frac{R_{bo} \cdot L_{bo}}{R_{wo} \cdot L_{wo}})^2 + \beta^2 q^2} \cdot \left(A' - \frac{0.25 h_0 L_{bo}}{A_{wo}} - \frac{2 h_0 L_{bo}}{A_{wo}} \right) \right] \quad \dots (27),$$

$$\delta_2 = - \frac{B' B R_{bo}}{h_0 (1 + E' \beta)} \cdot \left[\frac{1 + E' \beta^2 4(R' - h_0) h_0}{B L_{bo}^2} + \frac{(1 + 1.25 \frac{R_{bo} \cdot L_{bo}}{R_{wo} \cdot L_{wo}}) (E \delta q + P) + P^2 \beta^2 q^2}{(P + 1 + 1.25 \frac{R_{bo} \cdot L_{bo}}{R_{wo} \cdot L_{wo}})^2 + \beta^2 q^2} \cdot \left(A' - \frac{0.25 h_0 L_{bo}}{A_{wo}} + \frac{2 h_0 L_{bo}}{A_{wo}} \right) \right] \quad \dots (28).$$

ここで δ_2 の正負について考えてみる。 δ_2 が負である条件は、 $A' - \frac{0.25 h_0 L_{bo}}{A_{wo}} > 0$ であることである。

$$A' - \frac{0.25 h_0 \cdot L_{bo}}{A_{wo}} = 0.25 \left[\frac{20(R'-h_0)R_{bo} - 20R'R_{wo} + 4L_{bo}^2}{R_{wo} \cdot L_{wo} \cdot L_{bo}} + \frac{L_{bo} \left(\frac{A_{wo}}{R_{wo}L_{wo}} - 1 \right)}{A_{wo}} \right] > \\ 0.25 h_0 \left[\frac{20(R'-h_0)R_{wo} - 20R'R_{wo} + 4L_{bo}^2}{R_{wo} \cdot L_{wo} \cdot L_{bo}} + \frac{R_{bo} \cdot L_{bo}^2}{A_{wo} \cdot R_{wo} \cdot L_{wo}} \right] > 0.25 h_0 \frac{-20R_{wo}h_0 + 4L_{bo}^2}{R_{wo} \cdot L_{wo} \cdot L_{bo}} \\ = 0.25 h_0 \frac{16(2R'h_0 - h_0^2) - 20R_{wo} \cdot h_0}{R_{wo} \cdot L_{wo} \cdot L_{bo}} > 0.25 h_0 \frac{64R_{wo}h_0 - 16h_0^2 - 20R_{wo} \cdot h_0}{R_{wo} \cdot L_{wo} \cdot L_{bo}} > 0$$

$$\therefore R' \geq 2R_{wo}, R' > h_0.$$

ゆえに $R' < 0$ 。したがって 2 wave の進行方向は常に流れ方向と反対、開水路で上流に進む antidiure に相当する bed が築ける、円管路では存在しないことが証明された。

つまり、wave は $\beta_1 > 0$ の時発達し、 $\beta_1 < 0$ の時減衰する。したがって 2 bed が flat であるために、流れは (2), (27) 式より

$$U_{mo}^2 = g R_{bo} I_0 (6.0 + 2.5 \ln \frac{R_{bo}}{R_s})^2 \quad \dots \quad (29)$$

$$\frac{(1 + 1.25 \frac{R_{bo} \cdot L_{bo}}{R_{wo} \cdot L_{wo}}) \left(\frac{g}{\rho} - P \right) - P^2}{(P + 1 + 1.25 \frac{R_{bo} \cdot L_{bo}}{R_{wo} \cdot L_{wo}})^2} \cdot \left(A' - \frac{0.25 h_0 \cdot L_{bo}}{A_{wo}} \right) - \frac{2 h_0 L_{bo}}{A_{wo}} < 0$$

を同時に満足することである。ここ (27) 式の β_1 は、 $\beta = 2\pi R_{bo}/\lambda'$ (λ' : wave 波長) で $\lambda' \gg R_{bo}$ で $\beta \approx 0$ とした。

5) 理論値と実験結果の比較、および結語

(29) 式を用いて計算すると、(27) 式を満足する I_0, U_{mo} に対して (30) 式は单調減少する。したがって 2 wave bed から flat bed へ進行しても、その逆の逆行はありえない。管内に一定量の粒子が存在する場合、流速を増して \rightarrow 次のように bed 面が変化する。まず粒子が動き始め、wave ができ、しだいに飛躍する。その後減衰し flat bed へ逆行する。ついで bed 面は十分なましだいにけずり取られ、bed は消滅する。しかし場合によつては、bed 面に作用するせん断力が bed と管底との摩擦力を越え、wave bed の状態から bed 全体が動き始め、bed が消滅し、flat bed が存在しないことがある。

図-2 に wave bed から flat-bed に対する限界点の理論値、および前報の実験結果を示す。理論値は 1 つの線上にのらす。管内径、粒子断面内体積濃度により変化する。理論値と実験結果の差が大きいが実験は管径、粒径とも限られ、ついで数も少ないので、この理論の評価には、もっと多くの実験結果をうるこども必要である。

6) 参考文献

- 1) 岩佐富士、篠山、"掃流粒子を有する管路流れに関する研究" 昭和47年・年譜。
- 2) 楠、育勝、"流れによる sand wave の発生限界" 九大工学集報、40巻5号(42年12月)

